脉冲磁场对神经系统的影响(上)

(续前)

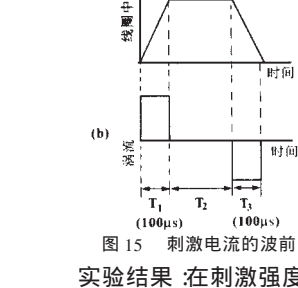
末梢神经的磁刺激

言 1984~1985 年间,上野照刚 (S. Uene) 等[4,5],采用磁刺激法使神经 出现兴奋,即用电磁感应磁场和脉冲 磁场进行磁刺激的。传统上用电容器 充放电法产生的脉冲磁场的波形,是 一种衰减波,尚不能形成矩形波和正 弦波。这样就无法对神经的磁刺激过 程进行详细地研讨。为此上野等在 1987~1988年间,发表了采用任意波 形发生器所提供的矩形波磁场所开展 的磁刺激研究[67]。上野等又对任意波 形发生器所产生的梯形波进行放大, 所用的 8 字形线圈 ,其匝数为 10 ,外径 为 100mm ,内径为 60mm。实验时 8 字 形线圈置放在右肩的锁骨部位。从上 肱二头肌处测量电压。实验系统和电 流波形见图 14~15。



图 14 实验系统示意图

14 生物磁学



齐凤

春(大连理工大学物理系

辽宁

116023

图 15 刺激电流的波前 实验结果 :在刺激强度 为 $10.3 \times 10^2 T/S$ 下 , 对图 15 中的 T_2 部分 $(0 \sim \mu s)$ 所做的磁刺激 实验结果,示于图 16。

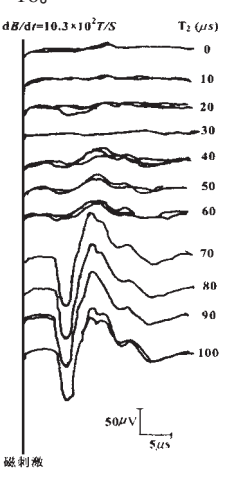


图 16 神经轴系统在 $10.3 \times 10^2 T/S$ 强度的梯形磁场刺激下振幅 (μv) 与 $T_2(0 \sim 1)$

又在刺激强度为 $10.3 \times 10^2 T/S$ 、 $10.7 \times 10^2 T/S$ 和 $11.0 \times 10^2 T/S$ 时的 梯形磁场刺激下,得到了 EMG 曲线 $^{(8)}$ 。这是振幅 $(\mu\nu)$ 与 $T_2(0 \sim 100 \mu s)$ 的 关系曲线 结果见图 17。

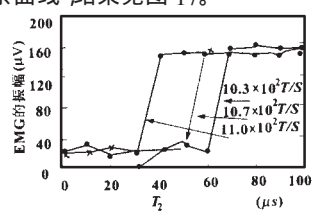


图 17 在三种梯形磁场强度刺激下所得到的 EMG 振幅与 $T_2(0\sim100\mu s)$ 的关系 $00\mu s)$ 的关系曲线

由图可知,在刺激强度为 $11.0 \times 10^2 T/S$ 下, T_2 在 $30 \mu s$ 以下进行刺激时 振幅只有 $25 \mu v$ 而已。但 T_2 在 $40 \mu s$ 以上时,振幅却急剧地增大到 $150 \mu v$ 左右;在强度为 $10.7 \times 10^2 T/S$ 下, $T_2 = 60 \mu s$ 时,振幅急剧地增大;在强度为 $10.3 \times 10^2 T/S$ 下, $T_2 = 70 \mu s$ 时,振幅急

剧变大。

磁刺激神经兴奋的 理论模型^[8]

有髓神经系统的磁刺激下的兴奋 模型,可以按图 18 所示的电路,进行 模拟性计算。

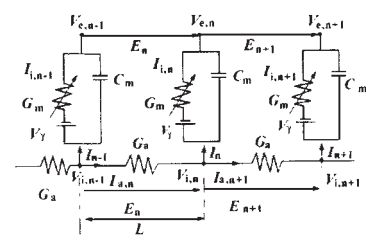


图 18 有髓神经纤维兴奋模型的模拟电路^(g) 此处:

Vn: 节点 n 的膜电位;

In: 节点 n 的膜电流;

Ve, n: 节点 n 的外电位;

V_{i, n}: 节点 n 的内电位;

V. 静止电位;

G。轴向内电导;

Gm: 节点的膜电导;

Cm: 节点的电容;

Iin: 节点 n 的总离子电流;

 $I_{a,n}$: 节点 n 与节点 n-1 间的轴向内电流;

L:内部的长度;

E_n: 节点 n – 1 和 n 间的感应电场。

节点内的电导 G。用下式表示:

 $G_a = \pi d^2/4\rho L \tag{1}$

电容 Cm 和电导 Gm ,以下式表示:

$$C_{m} = C_{m}\pi dL \tag{2}$$

$$G_{m} = q_{m}\pi dL \tag{3}$$

为计算方便,设神经纤维以外的介质 为无限均匀的。节点 n-1 和 n 间神经 纤维轴向电流 $I_{a,n}$,是由平行于神经纤 维的感应电场形成的电位差所产生的 计算。

$$I_n = G_a \left(\left(V_{n+1} - 2V_n + V_{n-1} \right) + \left(V_e, \right. \right.$$

 $\left. \left(v_{n+1} - 2V_{n-1} \right) + \left(E_{n+1} - E_n \right) L^{1/2} \left(4 \right) \right)$

由于神经纤维自身的活动而产生的细胞外电位,在 ImV 以下,很小,所以细胞外的各个节点间的电位差,只是由平行于神经纤维的感应电场所产生,故下式成立:

$$V_{e, n} - V_{e, n-1} = E_n L$$
 (5)

$$V_{e, n+1} - V_{e, n} = E_{n+1}L$$
 (6)

膜电流 In , 是通过膜的负载电流和离子电流的总和 ,从而有:

$$I_{\scriptscriptstyle n} = G_{\scriptscriptstyle m} \, \frac{dV_{\scriptscriptstyle n}}{dt} + I_{\scriptscriptstyle i,\, n} \tag{7} \label{eq:7}$$

$$\frac{dV_n}{dt} = \frac{1}{G_m} \int_{\mathbb{R}^n} G_a (V_{n+1} - 2V_n +$$

$$V_{n-1} + E_n - E_{n-1} L - I_{i,n}$$
 (8)

最终,由电磁感应产生的电场 E,由下式给出:

$$\mathrm{E}(\mathbf{r},t) = (\frac{\mathrm{d}\mathrm{I}(t)}{\mathrm{d}t}) \left(\frac{\mu N}{4\pi} - \int\!\!\frac{\mathrm{d}\mathrm{L}'}{|\mathbf{r}-\mathbf{r}'|} \right) (9)$$

这里 , μ_0 = $4\pi \times 10^{-7} {\rm Vs/Am, \ N}$ 为线圈匝数 ,I(t) 为线圈内电流 ,r 为计算电场的位置 , r' 为线圈微分 dL'的位置。

从 8 字形线圈中心下边的节点向 两边各取 100 个点 ,合起来为 200 个节 点。感应电场就是对这 200 个节点进行 计算的。神经纤维上膜电位的变化是 通过式(8)和式(9)计算出来的。

磁刺激的神经兴奋的 计算机模拟实验

实验时,直径为50mm、匝数为30的8字形线圈与神经纤维的位置关系示于图19。

如图 19 所示, 把平行于神经纤维

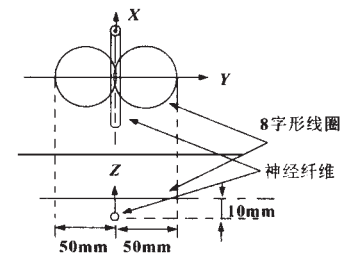


图 19 8 字形线圈与神经纤维的位置关系 (计算机模拟实验)

的轴作为 x 轴 ,把垂直于神经纤维的轴 定为 y 轴和 z 轴。采用如图 15 中梯形 波形的 T_2 部分。以此研究了神经兴奋 值的变化关系。

实验结果示于图 20。随着 T_2 的增

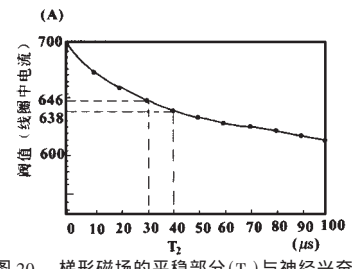


图 20 梯形磁场的平稳部分(T₂)与神经兴奋 阈值的关系(计算机模拟)

大,神经兴奋的阈值在减小。当线圈中的刺激电流为 640A 时,在 $T_2 \le 30\mu s$ 下,神经没有发生兴奋;但当 $T_2 \ge 40\mu s$ 时,则神经出现了兴奋(即产生活动电位)。

在线圈电流为 640A 以及 T_2 为 $30\mu s$ 和 $40\mu s$ 的时候 ,神经的膜电位与时间之间的变化关系示于图 21 和图 22。两图中 :(A) 神经轴系的膜电位与时间的三维空间变化关系 ,(B) 神经轴系的电位与时间变化关系的等高线图。

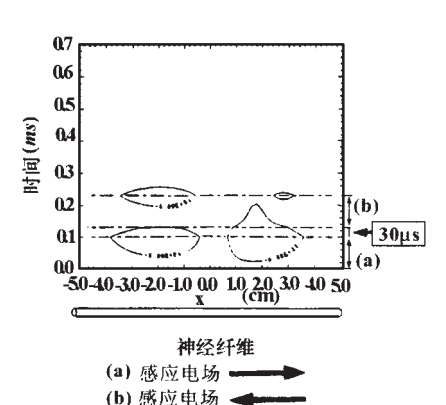


图 21 在线圈电流为 640A 和 T₂ 为 30μs 时 神经纤维膜的电位与磁刺激的关系^(s) (计算机模拟)

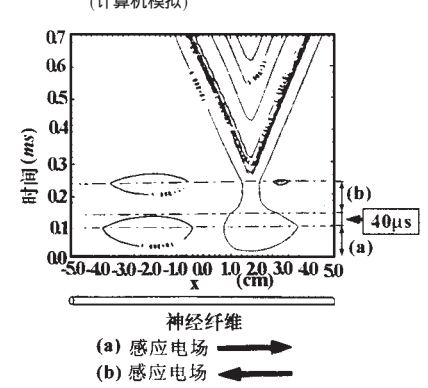


图 22 在线圈电流为 640A 和 T₂ 为 40µs 时 神经纤维膜的电位与磁刺激的关系^(s) (计算机模拟)

如图 21 所示,在 $T_2=30\mu s$ 时,由于一个脉冲涡电流刺激则神经出现了活动电位;但在 $30\mu s$ 后施加 2 个脉冲涡电流刺激时则活动电位的发生过程受到了抑制。

由图可知,当 T_2 为 $40\mu s$ 时,在离心方向的涡电流的刺激下,神经的活动电位的发生过程,处于 x=18mm 的位置。在后续涡电流刺激的时候,其兴奋

的引发点,比 $T_2 = 30 \mu s$ 的情况 (如图 21)要容易一些,在刺激后 260 μs 后,活动电位就发生了。并向神经纤维的二个方向传导。

讨 论

本理论模型的要点是:在磁刺激下,神经纤维内部和外部所感生的膜电位都发生了变化。根据该模型所作的模拟实验结果,可以很好地解释实验事实。

腕神经丛在梯形磁场刺激下所得到的实验结果,可以用图 20(计算机模拟结果) 所示的神经兴奋阈值 T_2 的变化规律进行说明。在图 20 中,当刺激强度为 640A 并且在 $T_2 \leqslant 20$ μ s 时,神经纤维没有出现兴奋,即没有出现 EMG 曲线峰。但是,在 $T_2 \geqslant 40$ μ s 时,则神经纤维出现了兴奋,从而也就看到了 EMG曲线峰。这个现象,同图 17 在 11.0 × 10^2 T/S 强度的磁刺激下所得的结果是一致的。

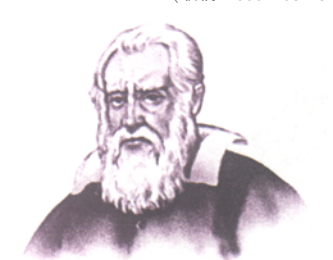
在图 17 中的随着刺激强度的减小引发 EMG 曲线的 T_2 值变长了这个事实,也可用图 20 加以解释,即图 20 所示:若刺激强度下降,则使神经兴奋的 T_2 值就变长了,这同图 17 的实验结果是一致的。

我们也可以看到,日本学者的方案设计和研究方法是很精细的,从而才获得了可喜的研究结果。

参考文献

- S. Ueno, K. Harade, IEEE Trans. Magn. 1984,
 MAG 20: 1660
- 5 A. T. Barker, Lancet, 1985, 1106
- S. Ueno, IEEE Trans. Magn. 1987, MAG 23: 2437
- 7 S. Ueno, J. Appl. Phys. 1988, 64: 5862
- 8 木通肋治等 ,日本应用磁气学会志 ,1992 ,16 (3):570

(收稿 2000-08-31)



生物磁学 15